

بررسی تجربی و عددی نمونه بتنی مسلح با ورق مشبک تحت بارگذاری ضربه*

مقاله پژوهشی

حسین سپهوند^(۱) مجتبی حسینی^(۲) حسین حاتمی^(۳)

چکیده این مطالعه برای نمونه بتنی از بتن خودتراکم استفاده شده است. در روش تجربی شتاب ضربه‌زننده با سنسور شتاب‌سنج اندازه‌گیری شده و تغییر شکل نمونه‌ها پس از پایان آزمایش اندازه‌گیری شده است. برای آزمایش تجربی از دستگاه تست ضربه سقوط آزاد استفاده شده است. برای مدل‌سازی عددی از نرم‌افزار المان محدود آباکوس استفاده شده است. این نرم‌افزار در شبیه‌سازی بارگذاری‌های دینامیکی نتایج مقبولی ارائه می‌کند. آزمایش ضربه برای نمونه‌های بدون ورق در شرایط تکیه‌گاهی ۲ سرگردار و ۱ طرف آزاد، و برای نمونه‌های مسلح‌شده به دلیل کم‌بودن ضخامت نمونه‌ها فقط به صورت ۱ طرف آزاد انجام شده است. مقایسه نتایج روش تجربی و عددی نشان می‌دهد که این روش تحقیق نتایجی نزدیک به هم دارند. نتایج نیز نشان می‌دهد که مقدار جابه‌جایی در نمونه‌های بدون ورق بیشتر از نمونه‌های مسلح‌شده بود. همچنین رفتار ورق‌های مشبک داخل نمونه‌ها بررسی شد.

واژه‌های کلیدی بتن خودتراکم، تغییر شکل، ساندویچ پانل، ورق مشبک فولادی، ضربه.

مقدمه

مکانیک ضربه یکی از موضوع‌های اصلی و مهم مهندسی مکانیک است که بعد از جنگ جهانی دوم مورد توجه بیشتر محققان قرار گرفت. به تأثیر بارهای دینامیکی گذرا بر سازه‌های بتنی به صورت گسترده در کاربردهای عمرانی و نظامی توجه شده است. به عنوان مثال پوسته‌های محافظ یک راکتور هسته‌ای باید توانایی حفاظت از راکتور در مقابل برخورد یک هواپیما را داشته باشند. نگاهی به تحقیقات گذشته نشان می‌دهد که از سال ۱۹۴۰ عملکرد سازه‌های خاص و راهبردی در برابر بارهای ضربه‌ای و انفجاری و بهبود خواص آن‌ها مورد توجه محققان بوده است. بعد از حادثه ۱۱ سپتامبر، نه تنها طراحان سازه‌های دفاعی و راهبردی، بلکه همه طراحان سازه‌ای به مقاومت ساختمان‌ها در برابر بارهای ضربه‌ای و انفجاری توجه کردند. آزمون ضربه یکی از روش‌های استاندارد برای تعیین انرژی شکست مواد در اثر تنش دینامیکی است. اساس آزمون ضربه تعیین مقدار انرژی

امروزه در پی گسترش صنعت ساخت‌وساز در کشور و به دنبال زیان‌های جانی و مالی گسترده که در اثر حوادث طبیعی همچون زلزله هر از گاهی از گوشه‌وکنار این سرزمین به گوش می‌رسد، افزایش دقت و ایمنی در تولید و سپس اجرای سازه‌های مهندسی امری ضروری است [۱]. بتن از جمله پرمصرف‌ترین مصالح ساختمانی در دنیا شناخته می‌شود؛ با گسترش استفاده از بتن، ویژگی‌هایی همچون دوام، کیفیت، تراکم و بهینه‌سازی آن از اهمیت ویژه‌ای برخوردار می‌شوند. بتن خودتراکم SCC بتنی بسیار سیال و روان و مخلوطی همگن است که بسیاری از مشکلات بتن معمولی مانند جداشدگی، آب‌انداختن، جذب آب، نفوذپذیری و... را رفع کرده است و علاوه بر آن بدون نیاز به لرزاننده (ویبره) داخلی یا ویبره بدنه قالب، تحت اثر وزن خودتراکم می‌شود [2].

DOI: 10.22067/fum-mech.v3i1i2.86056

* تاریخ دریافت مقاله ۹۸/۱۲/۲۷ و تاریخ پذیرش آن ۹۹/۷/۱۷ می‌باشد.

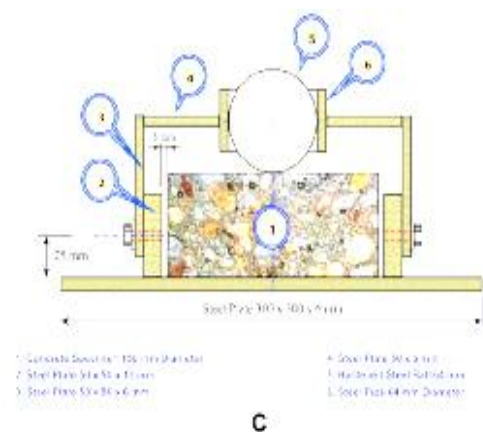
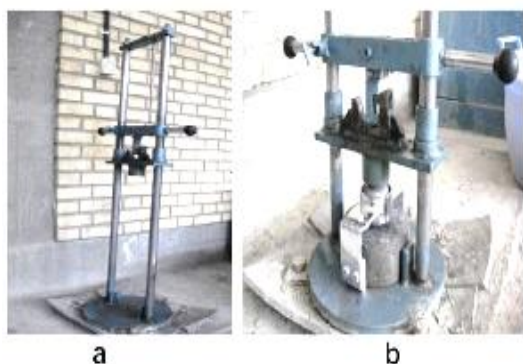
(۱) کارشناسی ارشد، گروه عمران، دانشگاه لرستان، خرم‌آباد، ایران.

(۲) دانشیار، گروه عمران، دانشگاه لرستان، خرم‌آباد، ایران.

(۳) نویسنده مسئول، دانشیار، گروه مکانیک، دانشگاه لرستان، خرم‌آباد، ایران.

Email: hatami.h@lu.ac.ir

فولادی به مقدار چشمگیری در مقایسه با بتن با مقاومت بالا (بدون الیاف) بهبود می‌یابد.



شکل ۱ (a) دستگاه سقوط چکش (b) تنظیم نمونه (c) تست ضربه و ابزار و ابعاد [5]

کلاتتری و همکاران [8] در سال ۲۰۰۹ به بهینه‌سازی پانل‌های ساندویچی که هسته بتنی دارند و ۲ طرف آن صفحه کامپوزیتی است، براساس سرعت ضربه‌ای کم پرداختند. نتایج کار آن‌ها نشان می‌دهد که پانل‌های پشتی باعث می‌شود نیروی مقاومت پانل‌ها در برابر ضربه بیشتر شود. رخشانی مهر و همکاران [۹] تأثیر میزان الیاف فولادی به‌کاررفته در بتن‌های با رده مقاومتی مختلف را بررسی کردند. شاخص‌های مقاومتی که برای شناسایی رفتار بتن انتخاب می‌شود، شامل مقاومت کششی، مقاومت ضربه‌ای، مقاومت فشاری و مقاومت خمشی است. در این پژوهش نمونه‌ها همچنین در هر

لازم برای شکستن قطعه در اثر ضربه است. اطلاعاتی که از این آزمون به دست می‌آید، در درک چگونگی رفتار ماده در موقعیت‌های کاربردی واقعی بسیار مفید است. هدف آزمون ضربه شبیه‌سازی شرایط واقعی به‌منظور تلاش برای جلوگیری از شکست و پیش‌بینی شکست نمونه است. پدیده ضربه یک رخداد به‌شدت دینامیکی است، به‌نحوی که در بسیاری از مودهای ارتعاشی در داخل جسم ضربه‌خورنده تحریک می‌شوند. با این حال، در هنگام تحلیل دینامیکی ضربه با سرعت کم، می‌توان از قوانین تماسی که به‌صورت استاتیکی به دست آمده‌اند، استفاده کرد؛ زیرا در سرعت‌های کم، اثرات نرخ کرنش و انتشار امواج برای بسیاری از مواد متداول ناچیز است [۳].

زیتکوچ [4] روشی برای بهبود رفتار بتن مسلح یافت. او از الیاف سیم آهنی تقریباً به طول ۱۰۰ میلی‌متر و قطر ۱۰ میلی‌متر، که به الیاف فولادی استفاده‌شده در بتن امروزی بسیار شبیه بود، استفاده کرد و نتیجه کار این بود که مقاومت‌های فشاری، کششی و برشی افزایش می‌یابد. تسو-لیانگ‌تنگ و همکارانش [5] نوع بتن مسلح‌شده با الیاف فولادی را با مقاومتی در حدود ۳۰ مگاپاسکال به‌روش‌های آزمایشگاهی و شبیه‌سازی عددی تحت برخورد پرتابه با سرعت زیاد بررسی کردند. در شکل (۱) نمایی از دستگاه سقوط چکش و شماتیک تست ضربه دیده می‌شود.

ژنگا و همکاران [6] در تحقیقات خود بر روی میزان عمق نفوذ پرتابه‌ها بر روی بتن با مقاومت بالا، به این نتیجه رسیدند که با افزایش مقاومت بتن، عمق نفوذ پرتابه کمتر می‌شود. سونگ و همکاران [7] در سال ۲۰۰۵ آزمایش‌هایی را با اضافه‌کردن الیاف فولادی به بتن با مقاومت بالا انجام دادند. بتن مسلح‌شده الیاف فولادی در قالب‌های استوانه‌ای ۱۵۰×۳۰۰ میلی‌متری ریخته شد. آزمایش‌های مقاومت ضربه‌ای روی نمونه‌های ساخته‌شده انجام شد و مهم‌ترین نتیجه کار آن‌ها این بود که مقاومت ضربه‌ای بتن با مقاومت بالا حاوی الیاف

مدل‌سازی شد و ضمن محاسبه عمق نفوذ پرتابه در هدف، نتایج به دست آمده با نتایج تجربی مقایسه شد. بررسی نتایج نشان دهنده تطابقی مناسب بین نتایج شبیه‌سازی عددی و نتایج تجربی است.

آزمایش

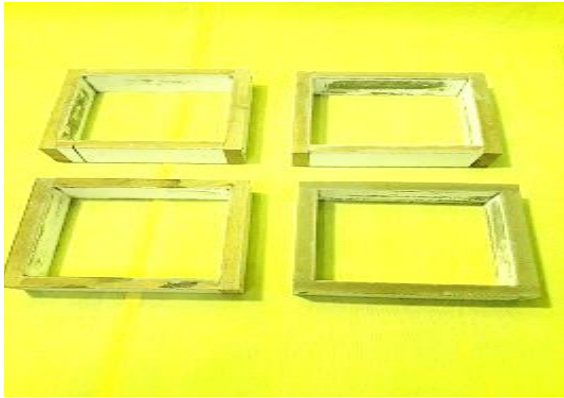
نمونه‌های آزمایش

برای انجام آزمایش ضربه از ۲ نمونه بتنی بدون ورق با ابعاد $10 \times 15 \times 15$ سانتی‌متر و ۲ نمونه مسلح شده با ابعاد $5 \times 15 \times 15$ سانتی‌متر استفاده شده است. برای ساخت نمونه‌ها از بتن خودتراکم توانمند استفاده شده است. مقدار بتن لازم برای ساخت نمونه‌ها مطابق رابطه (۱) است که در این رابطه W_c وزن بتن مورد نیاز برحسب کیلوگرم، a_c طول نمونه برحسب متر، b_c عرض نمونه برحسب متر، h_c ضخامت نمونه برحسب متر، ρ_c وزن مخصوص بتن که مقدار آن 2400 کیلوگرم بر مترمکعب است و n_c هم تعداد نمونه‌های بتنی است.

$$W_c = a_c \times b_c \times h_c \times \rho_c \times n_c \quad (1)$$

ساخت نمونه‌های مسلح شده به این صورت بود که در حین ساخت از ۲ ورق در بالا و پایین نمونه استفاده شده است، همچنین برای بررسی تأثیر ضخامت ورق، یک نمونه با ورق ضخامت 0.8 میلی‌متر و نمونه دیگر با ورق ضخامت 1 میلی‌متر ساخته شد. برای هم‌بستگی و گیرایی بهتر بتن و ورق به ازای هر کیلوگرم سیمان، 4 گرم فوق‌روان‌کننده Dezobuild D-10 استفاده شده است. نمونه‌ها بعد از ساخت برای عمل‌آوری به مدت 28 روز در آب قرار داده شدند. در شکل (۲) مراحل ساخت و بتن‌ریزی و عمل‌آوری بتن مشاهده می‌شود.

رده مقاومتی با 4 مقدار بدون الیاف، 15 ، 25 و 35 کیلوگرم الیاف در مترمکعب ساخته شدند. نتایج ایشان حاکی از آن بود که استفاده از الیاف فولادی مقاومت ضربه‌ای، زمان ظهور اولین ترک و مقاومت نهایی بتن را به طور درخور ملاحظه‌ای افزایش می‌دهد. همچنین افزودن این نوع الیاف مقاومت کششی و خمشی را به خوبی افزایش می‌دهد، اما تأثیر چندانی بر مقاومت فشاری بتن ندارد. سزاری و همکاران [۱۰] به بررسی رفتار یک نوع بتن فوق‌توانمند مسلح شده با الیاف فولادی (UHPSFRC) در مقابل برخورد پرتابه‌های با سرعت کم و زیاد پرداختند. برای بررسی رفتار و قابلیت این بتن در تحمل ضربه و برخورد پرتابه‌ها در این تحقیق، نوعی بتن با مقاومت بالا (HSC) نیز به عنوان مبنای مقایسه ساخته شده است. رفتار این ۲ نوع بتن در مقابل ضربه با سرعت کم با انجام آزمایش سقوط وزنه بررسی شده است و خصوصياتی شامل تعداد ضربه‌های لازم برای ایجاد اولین ترک و گسیختگی کلی، الگوی ترک‌خوردگی و قطر سوراخ‌شدگی در نمونه‌های بتنی مدنظر قرار گرفته است. برای بررسی این ۲ نوع بتن در مقابل برخورد پرتابه با سرعت زیاد، از روش شبیه‌سازی عددی استفاده شده است. نتایج آزمایش سقوط چکش نشان می‌دهد که HSC ترد است و مقاومت ضربه‌ای کمتری دارد و در همان ضربه اول به چندین تکه شکسته می‌شود، اما UHPSFRC با 2 درصد الیاف رفتاری شکل‌پذیر بروز می‌دهد و قادر به تحمل دست‌کم 10 ضربه پی‌درپی چکش است. نتایج شبیه‌سازی عددی نیز نشان می‌دهد که در شرایط یکسان برخورد پرتابه اجایو شکل با سرعت زیاد، به هدف بتنی UHPSFRC بدون سوراخ‌شدگی نفوذ می‌کند، اما در هدف HSC با همان ضخامت نفوذ کامل و سوراخ‌شدگی اتفاق افتاده است. خداداد واحدی و همکارانش [۱۱] با استفاده از نرم‌افزار LS-DYNA رفتار دینامیکی هدفی بتنی در مقابل نفوذ پرتابه شبیه‌سازی شده را بررسی کردند و برای این منظور، برخورد پرتابه فولادی به هدف بتنی مدنظر



(الف) قالب قبل از بتن‌ریزی



(ب) بتن‌ریزی قالب‌ها



(ج) درآوردن نمونه‌ها از قالب



(د) عمل‌آوری نمونه‌ها در آب به مدت ۲۸ روز

شکل ۲ مراحل ساخت ، بتن‌ریزی و عمل‌آوری نمونه‌ها

ورق

ورق استفاده‌شده در ساخت نمونه‌ها از توری‌های مشبک لوزی با ضخامت $0/8$ و 1 میلی‌متر با نام تجاری اکسپند مش و از جنس فولاد st37 است. اندازه ورق‌ها برای ساخت ۲ نمونه مسلح‌شده 14×14 سانتی‌متر است. ۲ دلیل برای این کاهش اندازه ورق‌ها وجود داشت؛ دلیل اول جاگیری بهتر ورق‌ها در داخل قالب‌ها در هنگام بتن‌ریزی و دلیل دوم اینکه در ۴ طرف ۲ نمونه یک کاور بتنی برای ورق‌ها وجود داشته باشد. در شکل (۳) نمایی از ورق‌های به‌کاررفته در ساخت نمونه‌ها قابل مشاهده است.



شکل ۳ نمایی از ورق‌های به‌کاررفته در ساخت نمونه‌ها

فیکسچر

فیکسچر وسیله‌ای است که باید قطعه کار را در موقعیت مناسب جای دهد و آن را هنگام انجام عملیات ساخت در وضعیت مطلوب نگه دارد. برای شرایط ۲ سرگیرداربودن نمونه‌ها در حین ضربه از تیر آهن IPE نمره ۱۴ به طول ۲۰ سانتی‌متر استفاده شده است که تیر آهن‌های یادشده با فاصله ۱۱ سانتی‌متر از یکدیگر در راستای موازی روی یک ورق فولادی به ابعاد ۳۰×۲۵ سانتی‌متر و ضخامت ۱ سانتی‌متر به صورت دقیق جوشکاری شده است. برای تقویت بال‌های ۲ تیر آهن، در جان تیر آهن‌ها ورق‌ها با ضخامت ۱ سانتی‌متر با ابعاد ۲۰×۱۳ سانتی‌متر جوشکاری و اجرا شده است. در ادامه کار برای مهار نمونه‌ها در بالای فیکسچر از ۲ ورق به ابعاد ۲۰×۷ سانتی‌متر و ضخامت ۱ سانتی‌متر استفاده شد. ابعاد ورق‌ها برابر با ابعاد بال ۲ تیر آهن IPE نمره ۱۴ جوشکاری شده است. ورق‌های بالایی با ۶ پیچ نمره ۱۰ به بال‌های ۲ تیر آهن متصل می‌شود و نمونه بتنی را در هنگام ضربه کاملاً ثابت نگه می‌دارد. برای جلوگیری از کمانش ورق‌های بالایی از ۲ ورق به ابعاد ۲۰×۲ سانتی‌متر استفاده کرده‌ایم که به صورت قائم جوشکاری شده است. در شکل (۴) نمای فیکسچر استفاده شده در این تحقیق نشان داده شده است.

(7500J) است. نهایت ارتفاع تنظیم‌پذیر این دستگاه ۳ متر است و جرم ضربه‌زننده از ۱۸۰ تا ۲۵۰ کیلوگرم تنظیم‌شدنی است. ارتفاع سقوط در این پژوهش ۲۵ سانتی‌متر در نظر گرفته شد. جرم ضربه‌زننده به نمونه بتنی در این تحقیق ۱۸۰ کیلوگرم انتخاب شده است. این دستگاه ۳ مدل سر ضربه‌زننده در اشکال تخت، مخروطی و نیم‌کروی دارد. در این بین، سطح تماس پرتابه تخت با هدف بتنی بیشتر از نیم‌کروی و برای نیم‌کروی بیشتر از مخروطی است. در این تحقیق برای مقایسه نتایج تغییر شکل نمونه‌ها حین ضربه، سر ضربه‌زننده با شکل نیم‌کروی و به قطر ۱۲ سانتی‌متر استفاده شده است. در شکل (۵) نمایی از سر ضربه‌زننده نیم‌کروی قابل مشاهده است. در جدول (۱) خواص مکانیکی سر ضربه‌زننده بیان شده است.

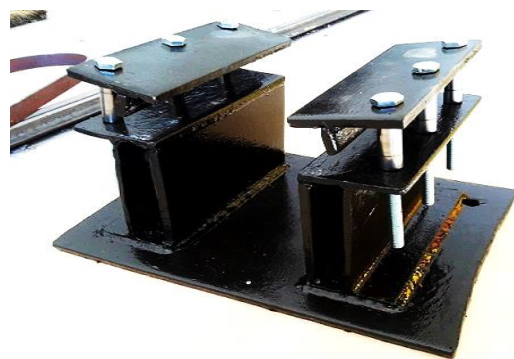


شکل ۵ سر ضربه‌زننده نیم‌کروی

جدول ۱ مشخصات مکانیکی سر ضربه‌زننده

جرم حجمی (kg/m ³)	مدول یانگ (GPa)	ضریب پواسون
۹۹۴۵	۲۳۰	۰٫۳

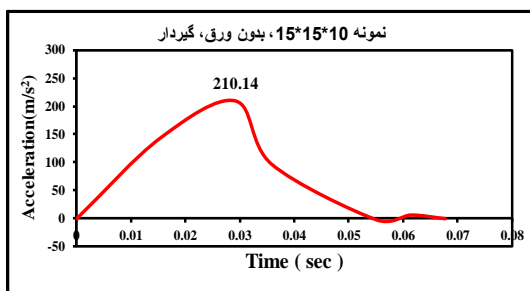
دستگاه تست ضربه از قسمت‌های مختلفی تشکیل شده است که عبارت‌اند از: قسمت کنترل مرکزی دستگاه، سیستم اندازه‌گیری و ضبط اطلاعات (شتاب‌سنج با دقت اندازه‌گیری میکروثانیه و به صورت وای‌فای استفاده شده است)، موتور، پایه‌های نگهدارنده



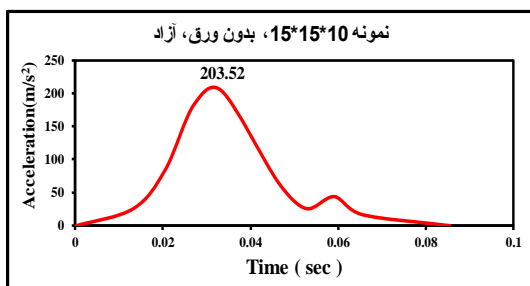
شکل ۴ نمای فیکسچر

دستگاه آزمایش تست ضربه و شتاب‌سنج

دستگاه استفاده شده برای آزمایش ضربه مدل (DH-TM)

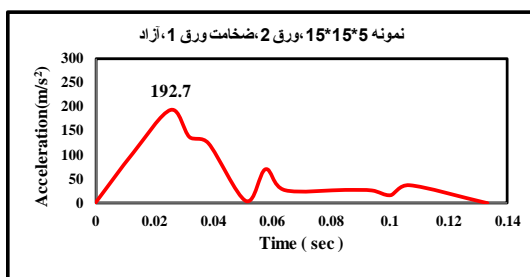


(الف)

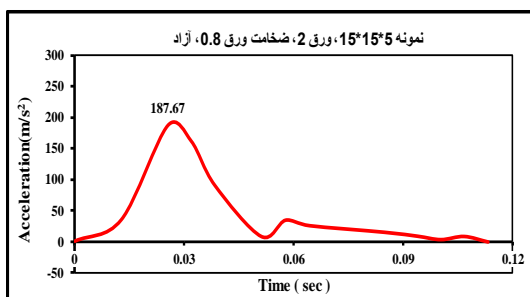


(ب)

شکل ۷ (الف) نمودار شتاب-زمان، بدون ورق، ۲ طرف گیردار، تست تجربی، (ب) نمودار شتاب-زمان، بدون ورق، ۲ طرف آزاد، تست تجربی



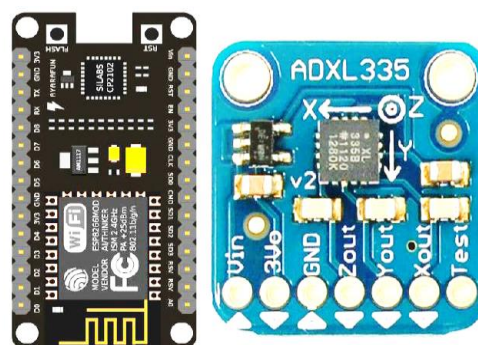
(الف)



(ب)

شکل ۸ (الف) نمودار شتاب-زمان، ۲ ورق ضخامت ۰/۸ میلی متر، تست تجربی، (ب) نمودار شتاب-زمان، ۲ ورق ضخامت ۰/۸ میلی متر، تست تجربی

ضربه زننده، وزنه های ضربه زننده (۱۸۰-۲۵۰ کیلوگرم) و سر ضربه زننده در اشکال مختلف (تخت، مخروطی، نیم کروی). این دستگاه ساخت ایران و مربوط به دانشگاه لرستان است. در شکل (۶) نمایی از این دستگاه و سنسور شتاب سنج آن نشان داده شده است.



(الف)



(ب)

شکل ۶ (الف) سنسور شتاب سنج، (ب) دستگاه تست ضربه

نتایج آزمایش تجربی

نتایج این تحلیل به صورت نمودارهای شتاب-زمان از دستگاه شتاب سنج است. شکل (۷) نمودارهای شتاب-زمان نمونه های بدون ورق با شرایط تکیه گاهی ۲ طرف آزاد و ۲ طرف گیردار و شکل (۸) نمودارهای شتاب-زمان ۲ نمونه مسلح شده است.

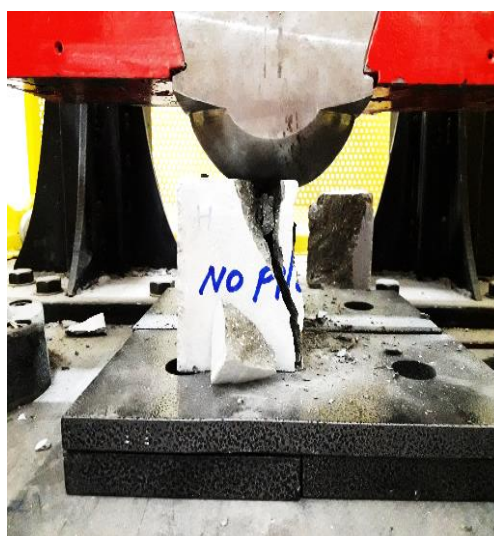
مقدار جابه‌جایی در روش تجربی برای نمونه‌های بدون ورق به دلیل تخریب کامل ۲ نمونه همان ضخامت ۰/۱ متر نمونه‌هاست، اما برای محاسبه مقدار جابه‌جایی در ۲ نمونه مسلح‌شده بعد از انجام آزمایش ضربه از کولیس استفاده شده است. شکل (۹) و شکل (۱۰) تغییر شکل و میزان جابه‌جایی نمونه‌ها را بعد از ضربه

نشان می‌دهد.

مقدار نیرو برای هر ۴ نمونه مطابق قانون دوم نیوتن از ضرب مقدار شتاب نمونه‌ها در جرم گوی ضربه‌زننده که در این تحقیق ۱۸۰ کیلوگرم است، محاسبه شده است. در شکل (۱۱) و شکل (۱۲) نمودارهای نیرو- جابه‌جایی نمونه‌ها قابل مشاهده است.



(ب)

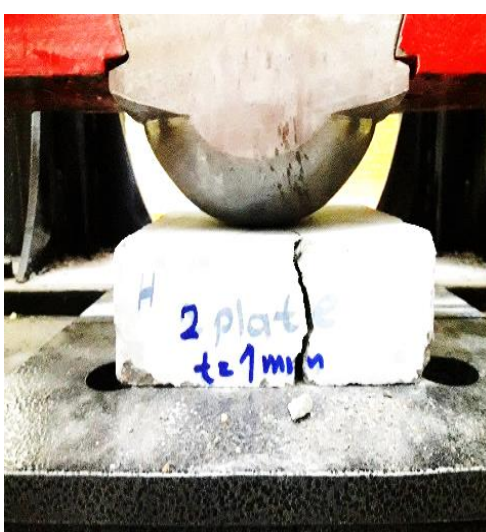


(الف)

شکل ۹ (الف) نمونه بدون ورق، ۴ طرف آزاد بعد از ضربه، (ب) نمونه بدون ورق، ۲ طرف گیردار بعد از ضربه

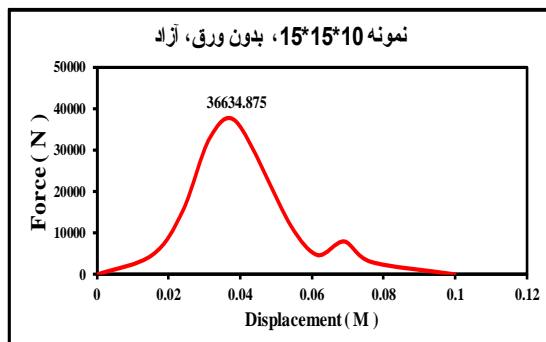


(ب)

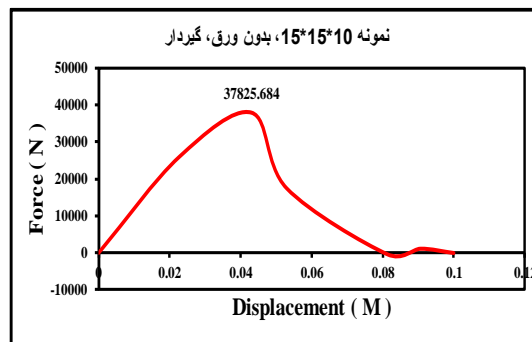


(الف)

شکل ۱۰ (الف) نمونه ۲ ورق، ضخامت ۱ میلی‌متر بعد از ضربه، (ب) نمونه ۲ ورق، ضخامت ۰/۸ میلی‌متر بعد از ضربه

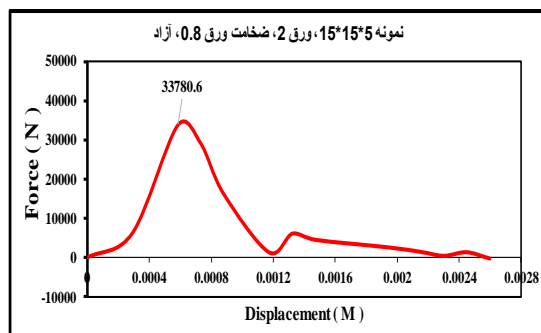


(ب)

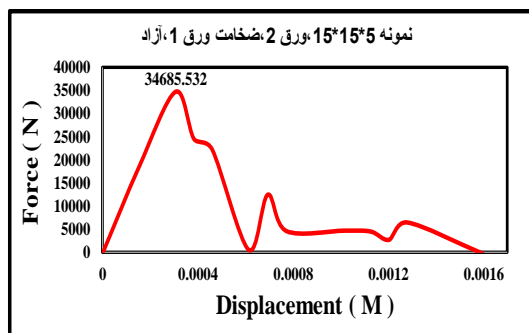


(الف)

شکل ۱۱ (الف) نمودار نیرو-جابجایی نمونه بدون ورق ۲ طرف گیردار، (ب) نمودار نیرو-جابجایی نمونه بدون ورق ۲ طرف آزاد



(ب)



(الف)

شکل ۱۲ (الف) نمودار نیرو-جابجایی نمونه ۲ ورق ضخامت ۱ میلی متر، (ب) نمودار نیرو-جابجایی نمونه ۲ ورق ضخامت ۰/۸ میلی متر

جدول ۲ نتایج تست تجربی

ابعاد نمونه (cm)	تعداد ورق	ضخامت ورق (mm)	شتاب (m/s^2)	جابجایی (M)	نیرو (N)	تکیه‌گاه	ارتفاع سقوط (cm)
۱۵×۱۵×۱۰	-	-	۲۰۳/۵۲	۰/۱	۳۶۶۳۴/۸۷	آزاد	۲۵
۱۵×۱۵×۱۰	-	-	۲۱۰	۰/۱	۳۷۸۲۵/۶۸	گیردار	۲۵
۱۵×۱۵×۵	۲	۱	۱۹۲/۷	۰/۰۰۱۶	۳۴۶۸۶	آزاد	۲۵
۱۵×۱۵×۵	۲	۰/۸	۱۸۷/۶۷	۰/۰۰۲۶	۳۳۷۸۰/۶	آزاد	۲۵

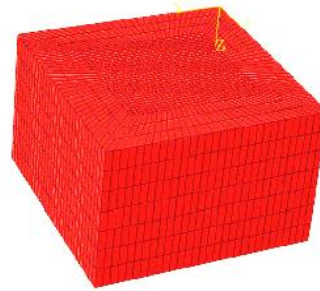
جابجایی کمتری دارند که این موضوع به وضوح تأثیر وجود ورق در ساخت نمونه‌ها را نشان می‌دهد. از طرفی نمونه مسلح شده با ورق ضخامت ۱ میلی متر به واسطه ضخامت بیشتر در مقایسه با نمونه مسلح شده با ورق ضخامت ۰/۸ میلی متر، جابجایی کمتری دارد که این موضوع بیانگر آن است که با افزایش ضخامت ورق، جابجایی نمونه بعد از وارد شدن ضربه کمتر

در جدول (۲) ماکزیمم شتاب نمونه‌ها برحسب متر بر مجذور ثانیه، جابجایی برحسب متر و مقدار نیروی نمونه‌ها برحسب نیوتن نمایش داده شده است. از نتایج تجربی در جدول شماره (۲) مشاهده می‌شود که نمونه‌های بدون ورق نسبت به نمونه‌های مسلح شده شتاب بیشتری دارند. همچنین نمونه‌های مسلح شده با ورق، نسبت به نمونه‌های بدون ورق

می شود.

مدلسازی عددی

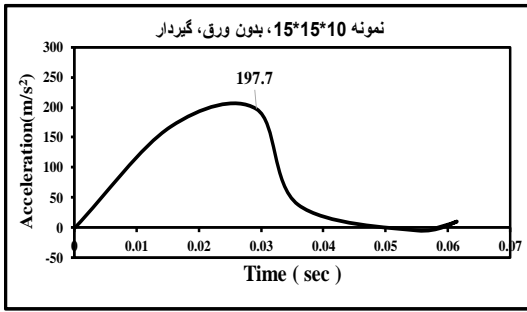
برای بررسی عددی رفتار نمونه های بتنی تحت ضربه ناشی از سقوط آزاد و مقایسه با داده های آزمایشگاهی، مدل سازی المان محدودی با استفاده از نرم افزار آباکوس برای هر نمونه انجام شده است. برای مدل سازی بتن خصوصیات بتن خودتراکم و مدل سازی ورق مشبک خصوصیات فولاد st37 لحاظ شده است. با اعمال نقطه مرجع Reference point در گوی ضربه زننده که به صورت خط مشکی در شکل (۱۳) قابل مشاهده است، نمودارهای شتاب-زمان و نیرو-جابجایی نمونه ها استخراج شده است.



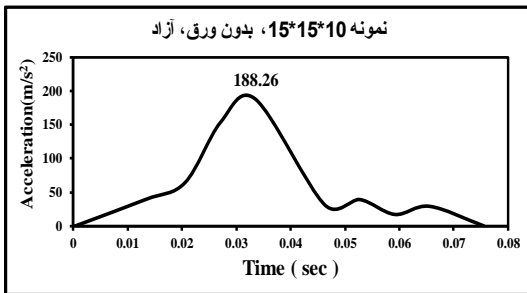
شکل ۱۳ مدل سازی گوی و نمونه

نتایج مدل سازی عددی

نتایج این تحلیل به صورت نمودارهای شتاب-زمان خروجی از نرم افزار آباکوس به دست آمده که در شکل (۱۴) و شکل (۱۵) نمودارهای شتاب زمان هر نمونه در روش عددی نمایش داده شده است.

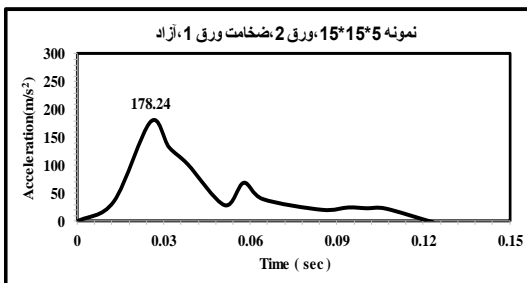


(الف)

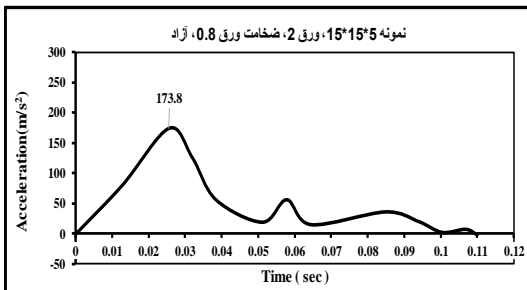


(ب)

شکل ۱۴ (الف) نمودار شتاب-زمان، بدون ورق، ۲ طرف گیردار، تست عددی، (ب) نمودار شتاب-زمان، بدون ورق، ۴ طرف آزاد، تست عددی



(الف)



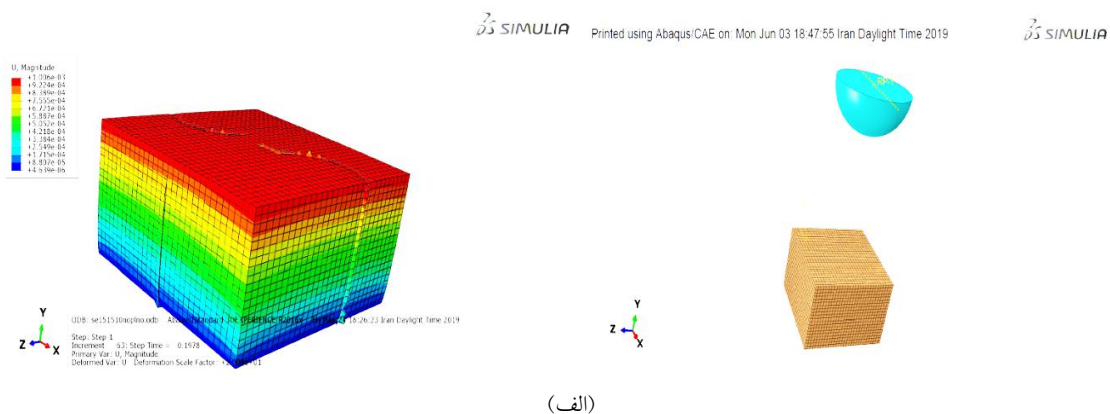
(ب)

شکل ۱۵ (الف) نمودار شتاب-زمان، ۲ ورق ضخامت ۱ میلی متر، تست عددی، (ب) نمودار شتاب-زمان، ۲ ورق ضخامت ۰/۸ میلی متر، تست عددی

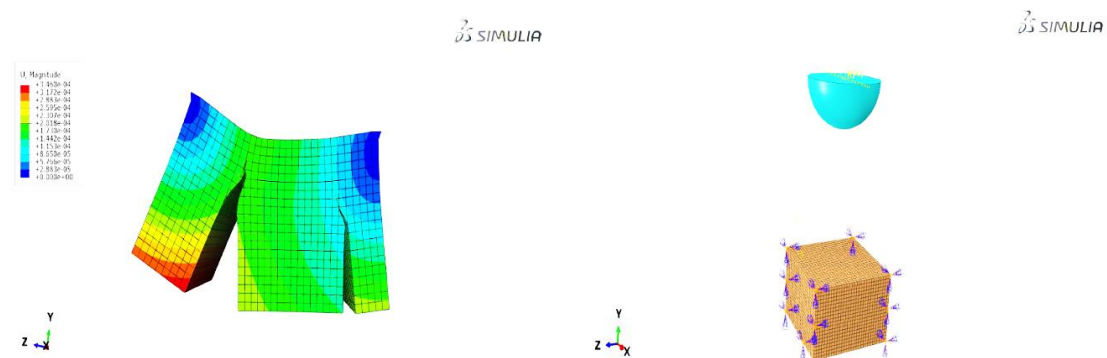
نرم افزار آباکوس است، در شکل (۱۸) و شکل (۱۹) نمایش داده شده است. همان طور که مشاهده می شود، مقدار نیروی نمونه های بدون ورق از مقدار نیروی نمونه های مسلح شده بیشتر است. مقادیر جابه جایی نمونه ها در روش عددی کمتر از مقادیر جابه جایی نمونه ها در روش تجربی است و این اختلاف ناچیز ناشی از آن است که در روش عددی ارتفاع سقوط دقیق ۲۵ سانتی متر لحاظ می شود و ضربه گوی ضربه زننده درست به مرکز نمونه برخورد می کند و شاید در روش تجربی این نکته به دلیل آزمایشگاهی بودن روش به صورت دقیق و میلی متری رعایت نشود. در جدول (۳) ماکزیمم شتاب نمونه ها بر حسب متر بر مجذور ثانیه، جابه جایی بر حسب متر و مقدار نیرو نمونه ها بر حسب نیوتن در روش عددی نمایش داده شده است.

از نمودارهای شتاب-زمان در روش عددی مشاهده می شود که مانند روش تجربی شتاب نمونه های بدون ورق از نمونه های مسلح شده بیشتر است. همچنین شتاب در نمونه بدون ورق در شرایط تکیه گاهی ۲ سرگیردار بیشتر از شتاب نمونه بدون ورق در حالت عطف آزاد است. شتاب نمونه مسلح شده با ورق ضخامت ۱ میلی متر از نمونه مسلح شده با ورق ۰/۸ میلی متر بیشتر است و این موضوع بیانگر آن است که ضخامت بیشتر ورق باعث افزایش شتاب می شود. شکل (۱۶) و شکل (۱۷) مدل سازی هر نمونه قبل و بعد از ضربه را نشان می دهد. از مشاهده نوع ترک های ایجاد شده در نمونه می توان استنباط کرد که تغییر شکل و میزان جابه جایی در نمونه های مسلح شده کمتر از نمونه های بدون ورق است.

نمودارهای نیرو-جابه جایی نمونه ها که خروجی

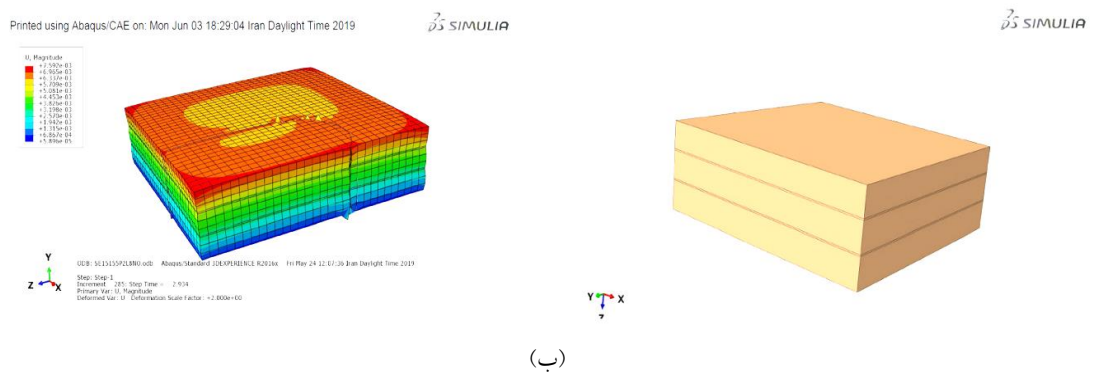
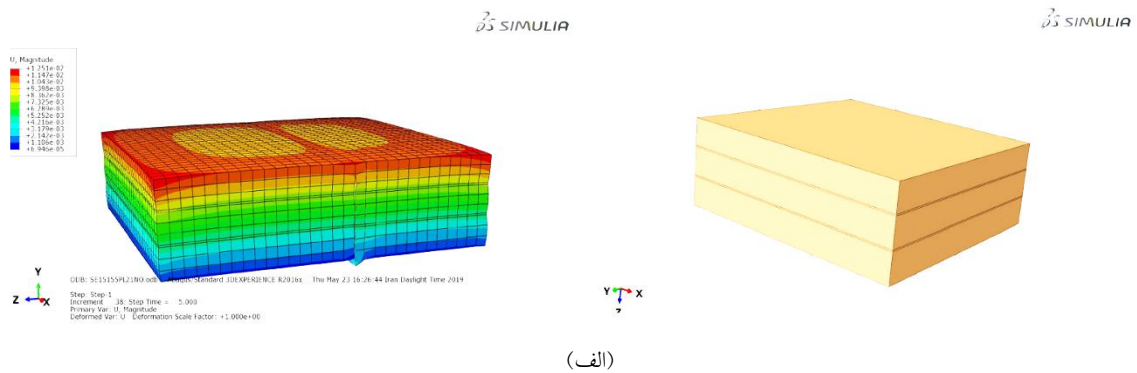


(الف)

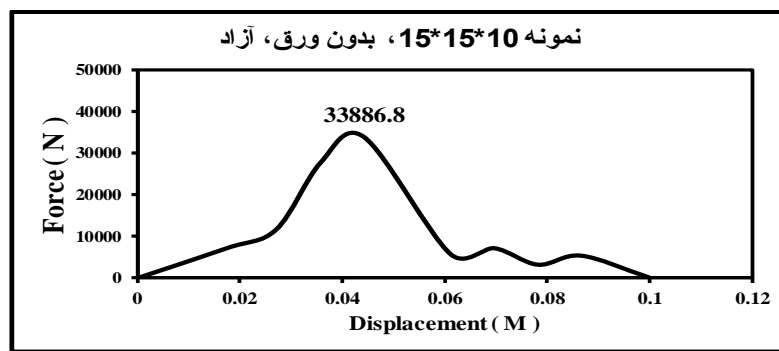
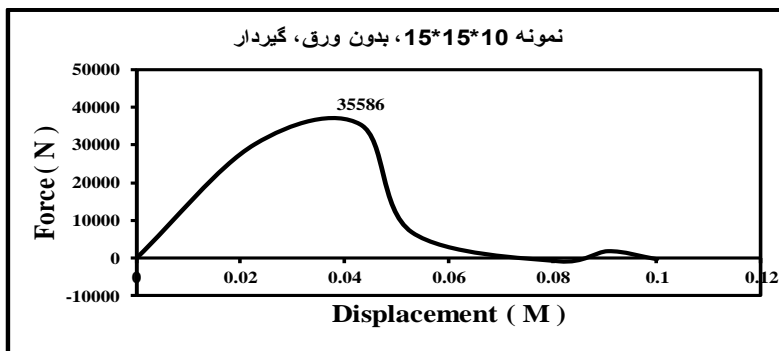


(ب)

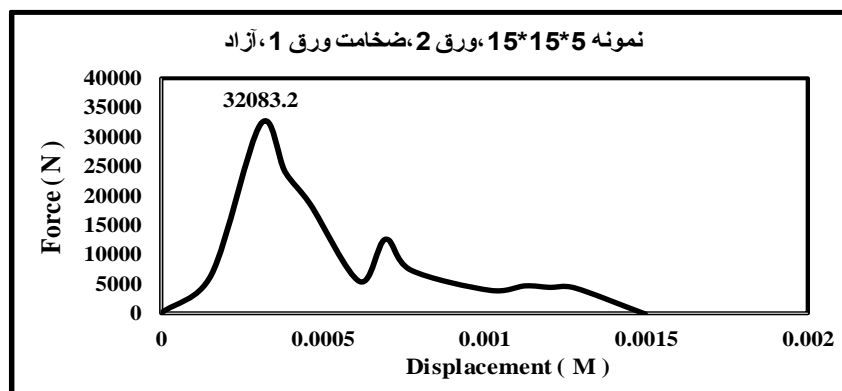
شکل ۱۶ (الف) مدل سازی نمونه بدون ورق، عطف آزاد، (ب) مدل سازی نمونه بدون ورق، ۲ طرف گیردار، قبل و بعد از ضربه



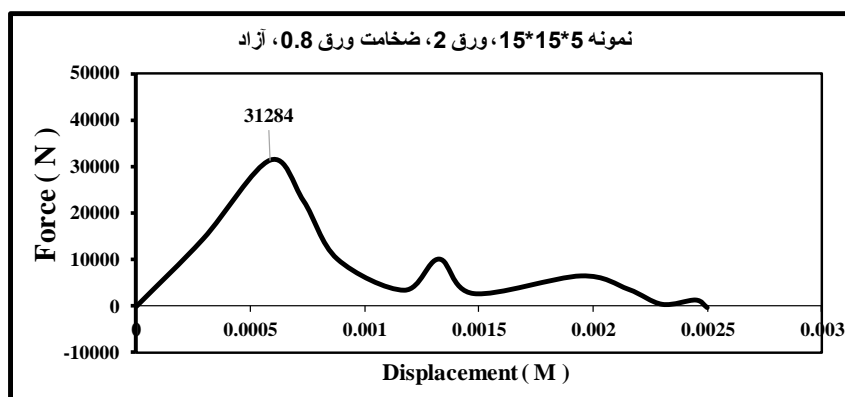
شکل ۱۷ (الف) نمونه ۲ ورق، ضخامت ۱ میلی متر از طرف آزاد، (ب) نمونه ۲ ورق، ضخامت ۰/۸ میلی متر از طرف آزاد، قبل و بعد از ضربه،



شکل ۱۸ (الف) نمودار نیرو-جابجایی، بدون ورق، از طرف گیردار، (ب) نمودار نیرو-جابجایی، بدون ورق، از طرف آزاد، تست عددی



(الف)



(ب)

شکل ۱۹ (الف) نمودار نیرو-جابجایی، ۲ ورق ضخامت ۱ میلی‌متر، (ب) نمودار نیرو-جابجایی، ۲ ورق ضخامت ۰/۸ میلی‌متر، تست عددی

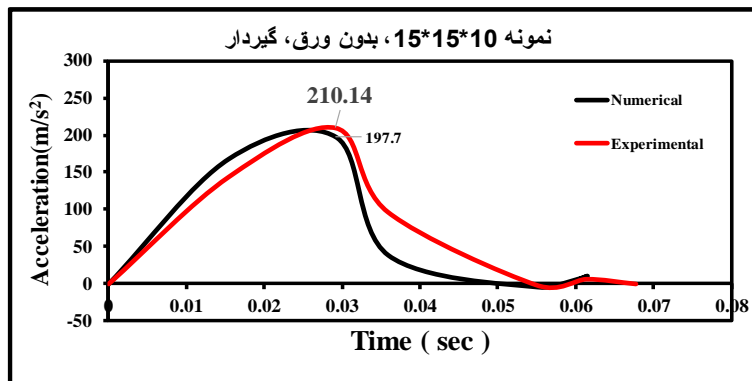
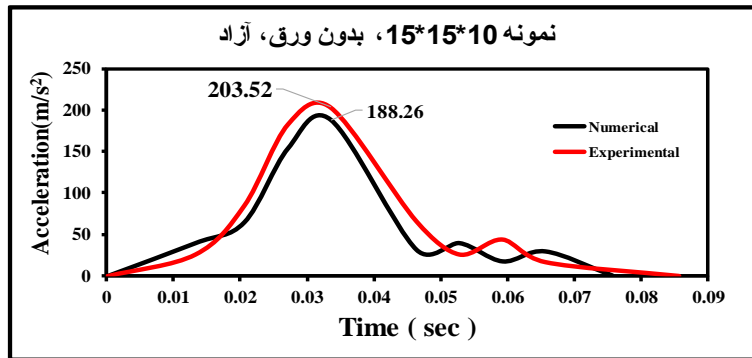
جدول ۳ نتایج تست عددی

ارتفاع سقوط (cm)	تکیه‌گاه	نیرو (N)	جابجایی (M)	شتاب (m/s ²)	ضخامت ورق (mm)	تعداد ورق	ابعاد نمونه (cm)
۲۵	آزاد	۳۳۸۸۶/۸	۰/۱	۱۸۸/۲۶	-	-	۱۵×۱۵×۱۰
۲۵	گیردار	۳۵۵۸۶	۰/۱	۱۹۷/۷	-	-	۱۵×۱۵×۱۰
۲۵	آزاد	۳۲۰۸۳/۲	۰/۰۰۱۵	۱۷۸/۲۴	۱	۲	۱۵×۱۵×۵
۲۵	آزاد	۳۱۲۸۴	۰/۰۰۲۵	۱۷۳/۸	۰/۸	۲	۱۵×۱۵×۵

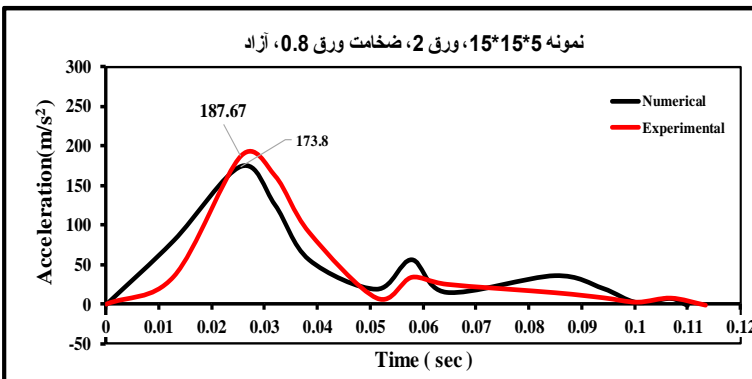
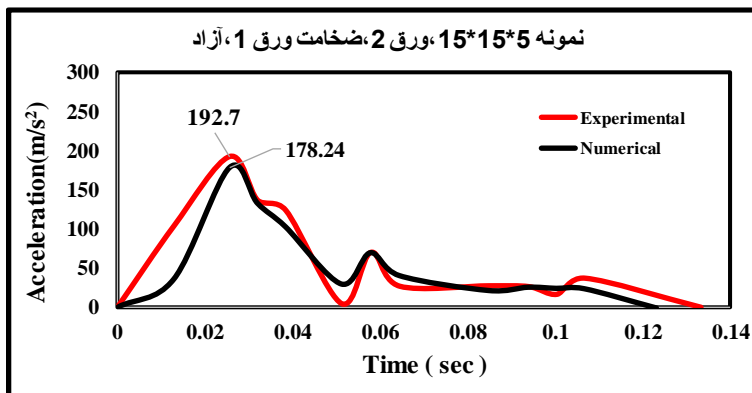
میرایی است که در مدل عددی اعمال نشده است. البته باید در نظر داشت که شرایط تکیه‌گاهی و خطای احتمالی در ساخت نمونه‌ها عامل مهمی در مقدار نتایج است. در شکل (۲۰) مقایسه نمودارهای شتاب-زمان و شکل (۲۱) نمودارهای نیرو-جابجایی هر نمونه در روش تجربی و عددی نشان داده شده است.

بحث و نتایج

در مقایسه نمودارهای شتاب-زمان و نیرو-جابجایی نمونه‌ها مشاهده می‌شود که مقادیر تجربی از مقادیر عددی بیشتر و این اختلاف کمتر از ۷ درصد است که این مقدار به دلایلی از قبیل اصطکاک بین یاتاقان‌های ضربه‌زننده، میله‌های نگهدارنده وزنه و همچنین وجود

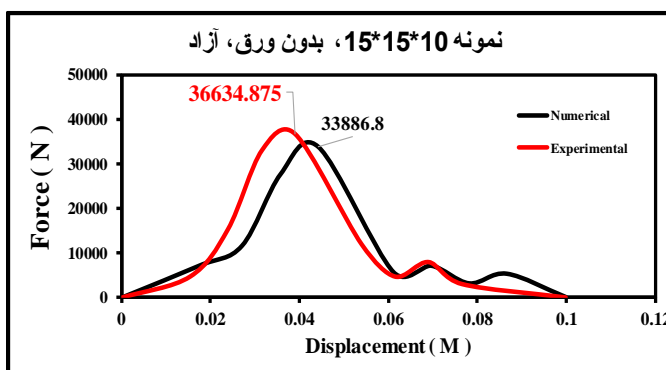
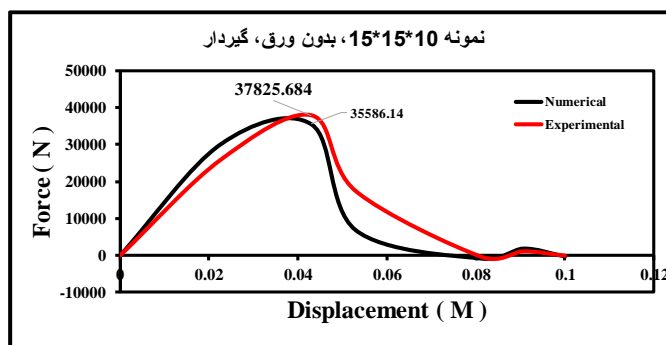


(الف)

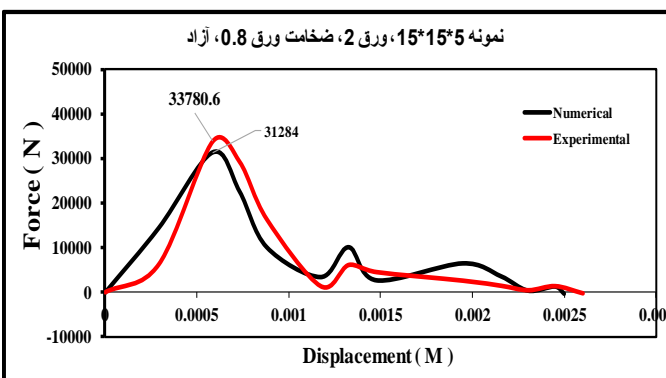
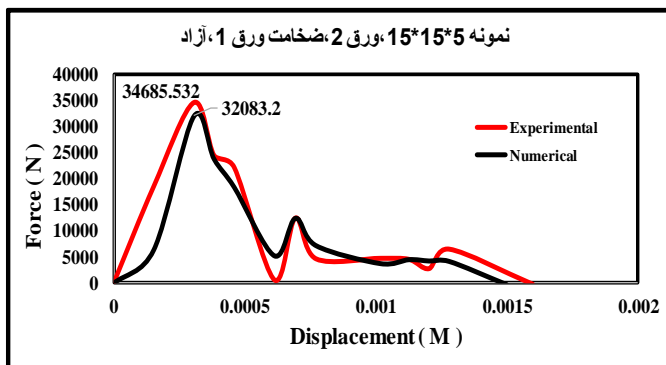


(ب)

شکل ۲۰ (الف) مقایسه نمودار شتاب-زمان نمونه های بدون ورق، (ب) مقایسه نمودار شتاب-زمان نمونه های مسلح شده



(الف)

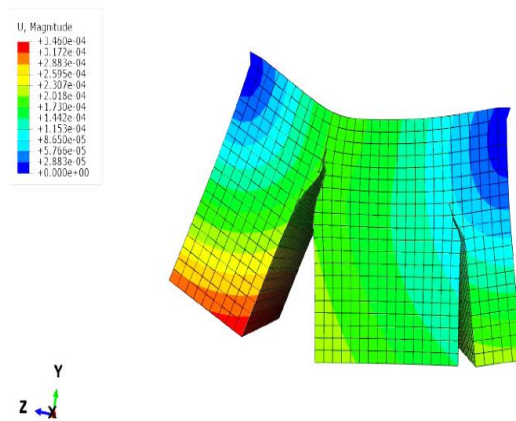


(ب)

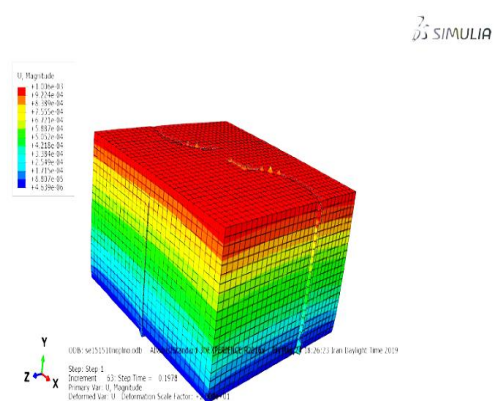
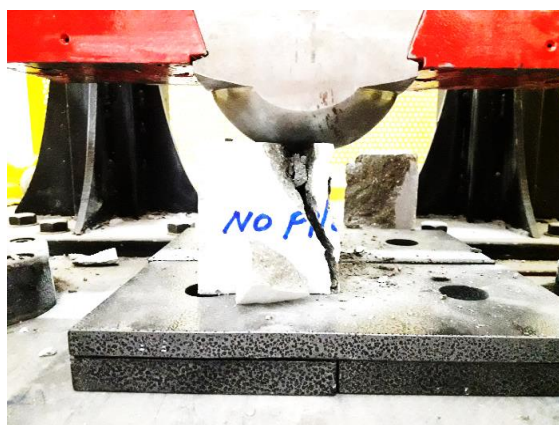
شکل ۲۱ (الف) مقایسه نمودار نیرو-جابجایی نمونه‌های بدون ورق، (ب) مقایسه نمودار نیرو-جابجایی نمونه‌های مسلح شده

است، در بین ۴ نمونه آزمایش شده، نمونه بتنی مسلح شده با ورق ضخامت ۱ میلی‌متر، تغییر شکل و جابه‌جایی کمتری نسبت به ۳ نمونه دیگر داشته است و این موضوع بیانگر اهمیت وجود ورق در ساخت نمونه‌ها را نشان می‌دهد. مشابه بودن نتایج روش تجربی با نتایج عددی نشان از دقت مناسب و نزدیک به هم این ۲ روش تحلیل دارد.

در بحث مقایسه تغییر شکل نمونه‌ها در روش تجربی و عددی همان‌طور که در شکل (۲۲) و (۲۳) مشاهده می‌شود، میزان پیشروی ترک‌ها مشابه هم است. در روش تجربی نمونه‌های بدون ورق در هر ۲ حالت ۴ طرف آزاد و ۲ سرگیردار بر اثر ضربه دچار شکست می‌شوند که همین موضوع در مدل‌سازی عددی هم اتفاق می‌افتد. تغییر شکل نمونه‌های مسلح شده و نحوه پیشروی ترک‌ها در روش تجربی هم مشابه روش عددی

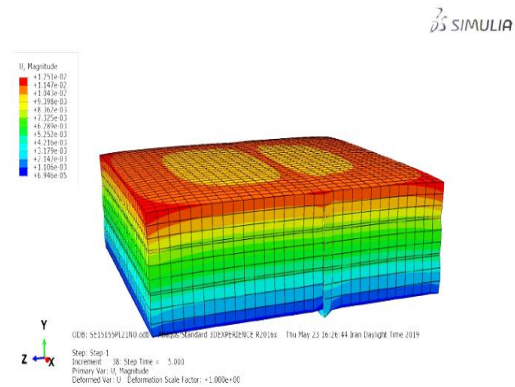
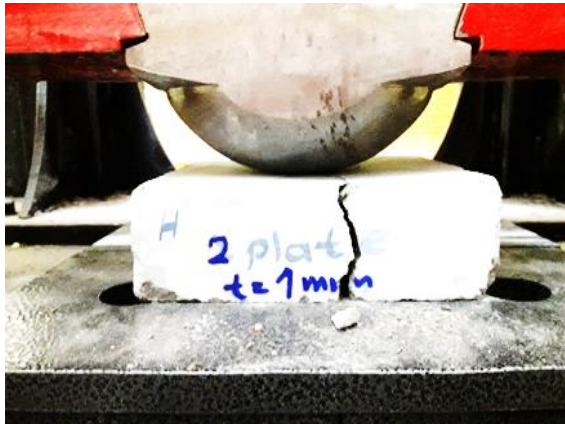


(الف)

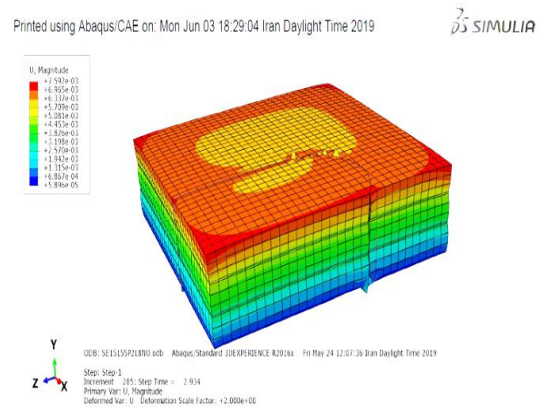
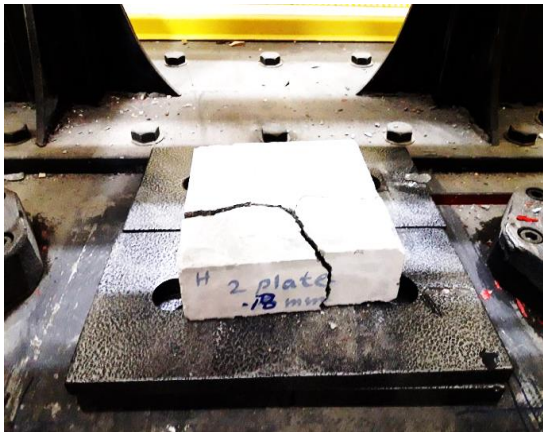


(ب)

شکل ۲۲ (الف) مقایسه روش تجربی و عددی نمونه بدون ورق، ۲ سرگیردار، (ب) نمونه بدون ورق، ۴ طرف آزاد



(الف)



(ب)

شکل ۲۳ (الف) مقایسه روش تجربی و عددی نمونه ۲ ورق، ضخامت ۱ میلی متر، (ب) نمونه ۲ ورق، ضخامت ۰/۸ میلی متر

بدون ورق کمتر بود که اهمیت وجود ورق در ساخت نمونه‌ها مشهود است، همچنین ضخامت ورق هم تأثیر بسزایی در تغییر شکل نمونه‌ها دارد، زیرا نمونه ساخته شده با ورق ضخیم‌تر، نسبت به نمونه ساخته شده با ورق نازک‌تر تغییر شکل و جابه‌جایی کمتری دارد. نمونه ساخته شده با ورق ۱ میلی متر از شتاب نمونه ساخته شده با ورق ۰/۸ میلی متر بیشتر است. همچنین مقایسه نمودارهای تحلیل عددی و آزمایشگاهی هر ۴ نمونه، اختلافی کمتر از ۷ درصد را نشان می‌دهد که نشان از دقت مناسب و نزدیک به هم روش تجربی با عددی است.

نتیجه‌گیری

در این تحقیق بررسی آزمایشگاهی و شبیه‌سازی عددی رفتار ۲ نمونه بتنی بدون ورق با ابعاد $10 \times 10 \times 15$ سانتی‌متر و ۲ نمونه بتنی مسلح شده با ابعاد $5 \times 5 \times 10$ سانتی‌متر تحت ضربه با سرعت پایین ناشی از سقوط آزاد وزنه انجام شد. براساس نتایج این تحقیق در هر ۲ روش تحلیل، شتاب نمونه‌های بدون ورق به‌واسطه ضخامت بیشتر ابعاد نمونه در مقایسه با نمونه‌های مسلح شده با ابعاد کوچک‌تر بیشتر بود. هرچه شتاب نمونه‌ها بیشتر باشد، مقدار نیرو هم بیشتر است. تغییر شکل نمونه‌های مسلح شده نسبت به نمونه‌های

مراجع

۱. طاحونی، شاپور، "طراحی ساختمان های بتن مسلح"، انتشارات دانشگاه تهران، چاپ هفتم، (۱۳۸۳).
2. Hossain, M. M., Karim, M. R., Hasan, M., Hossain, M. K., Zain, M. F. M., "Durability of mortar and concrete made up of pozzolans as a partial replacement of cement: A review", *Construction and Building Materials*, Vol. 116. pp. 128–140, (2016).
۳. لطیفی، محمد، "بررسی تحلیل نفوذ پرتابه های صلب در یک هدف بتنی پوشش دار"، پایان نامه کارشناسی ارشد، دانشگاه امام حسین، (۱۳۸۶).
4. Beddar, M, "Development of steel fiber reinforced concrete from antiquity until the present day", *Proceedings of the Conference Concrete: Constructions sustainable Option*, Vol. 12, Dundee, UK, (2008)
5. Teng, T. L., Chub, Y. A., Chang, F. A., Shen, B. C., Cheng, D. S., "Development and Validation of Numerical Model of Steel Fiber Reinforced Concrete for High Velocity Impact", *Computational Materials Science*, Vol. 42, pp. 90-99, (2008).
6. Zhanga, M. H., Shimb, V. P. W., Lua, G., Chewa, C. W., "Resistance of high-strength concrete to projectile impact", *International Journal of Impact Engineering*, Vol. 31, pp. 825– 841, (2005).
7. Song, P. S., Wu, J. C., Hwang, S., Sheu, B. C., "Assessment of Statistical Variations in Impact Resistance of High-Strength Steel Fiber Reinforced Concrete", *Cement and Concrete Research*, Vol. 35, pp. 393-39, (2005).
8. Kalantari, M., Rahim Nami, M., Hasan, K. M., "Optimization of composite sandwich panel against impact using genetic algorithm", *Journal of Optimization*, Vol 21, pp. 123-138, (2009).
۹. رخشانی مهر، مهرا، بخشی، حسین، "بررسی تأثیر مقدار الیاف و رده مقاومت بر مشخصات مکانیکی بتن با الیاف فولادی"، پایان نامه کارشناسی ارشد، گروه عمران، دانشگاه الزهراء، (۱۳۹۴).
۱۰. سزازی، مرتضی، دهقانی اشکذری، قاسم، "بررسی عملکرد ضربه ای بتن با مقاومت بالا و بتن فوق توانمند الیافی تحت برخورد پرتابه"، دانشگاه صنعتی ملک اشتر تهران، ۱۳۹۵، ص ۳۳۷-۳۴۸، (۱۳۹۵).
۱۱. واحدی، خداداد، "شبیه سازی رفتار دینامیکی بتن تحت بارگذاری ضربه ای"، بیستمین کنفرانس عمران سازه، دانشگاه تهران، اردیبهشت، (۱۳۸۷).

An Experimental and Numerical Investigation into Concrete Specimens with Expanded Metal Sheet under Impact Loading

Hossein Sepahvand¹ Mojtaba Hosseini²
Hossein Hatam³

1. Introduction

Nowadays, because of the rapid expansion of the construction industry in Iran and the extensive human and financial losses that can be heard from time to time from the corners of the country due to natural disasters such as earthquakes, boosting accuracy and safety in production and then execution of engineering structures is essential. Concrete is known as one of the most widely used building materials in the world. With the expansion of the use of concrete, properties such as durability, quality, density and optimization get special importance. Self-compacting concrete is very fluid and smooth and a homogeneous mixture that solves many problems of ordinary concrete such as separation, watering, water absorption, permeability, etc. and in addition without the need for any internal vibrator or body vibration, the mold compresses under its own weight.

2. Specimens

The reinforced specimens were made in such a way that two sheets at the top and bottom of the specimen were used during the construction. Also to investigate the effect of sheet thickness one sample was made with 0.8 mm thick sheet and the other sample was made with 1 mm thick sheet. For better bonding and adhesion of concrete and sheet, 4 g of Dezobuild D-10 lubricant is used per kg of cement. Samples were placed in water for 28 days after fabrication for fabrication. Figure 1 shows the construction and concreting steps.

3. Drop Hammer Test Machine 7500 J

The device used for impact testing is DH-TM-7500J. The maximum adjustable height of this device is 3 meters and the impact mass can be adjusted from 180 to 250 kg. The height of the fall in this study was considered to be 25 cm. The impact mass of four concrete samples in this study

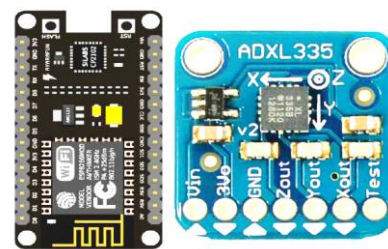
was 180 kg. The impact tester consisted of several parts: the central control unit of the device, the system for measuring and recording information (accelerometer with accurate measurement of microseconds and used as WiFi), engine impact support bases, impact weights (180-250 kg) and impact head in different shapes (flat, conical, hemispherical). This device is made in Iran and belongs to Lorestan University. Figure 2 shows a view of this device and accelerometer sensor.



Figure 1. Stages of construction and concreting of samples



(a)



(b)

Figure 2. a) Impact testing device, b) Accelerometer sensor

¹ MSc, Civil Engineering, Lorestan University, Khorramabad, Iran.

² Associated Professor, Civil Engineering, Lorestan University, Khorramabad, Iran.

³ Corresponding author: Associated Professor, Mechanical Engineering, Lorestan University, Khorramabad, Iran.

Email: hatami.h@lu.ac.ir

4. Experimental Method

In the experimental method, sheetless samples have more acceleration than reinforced samples. Moreover, samples reinforced with sheets have less displacement than samples without sheets, which clearly shows the effect of the presence of sheets on the fabrication of samples. On the other hand, samples reinforced with sheets of 1 mm thick due to greater thickness compared to the sample reinforced with 0.8 mm thick sheet, have less displacement, which indicates that with increasing the thickness of the sheet, the displacement of the sample decreases after the impact.

5. Numerical Modeling

In order to numerically investigate the behavior of concrete samples under impact due to free fall and compare it with laboratory data, finite element modeling was performed using Abacus software for all four samples. For modeling concrete, the properties of self-compacting concrete and modeling of mesh sheet are considered as the characteristics of st37 steel. Acceleration-time and force-displacement diagrams of the samples are extracted by applying the reference point in the striking ball, which can be seen as a black line in Figure 3.

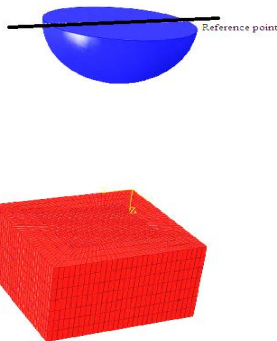


Figure 3. Sphere and sample modeling

In the numerical method, it is observed that, like the experimental method, the acceleration of sheetless samples is higher than that of reinforced samples. Moreover, the acceleration in the sheetless specimen under the conditions of double-trapped support is more than the acceleration of the sheetless specimen in the quadrilateral position. The acceleration of a sample reinforced with a 1 mm thick sheet is higher than that of a sample reinforced with a 0.8 mm thick sheet, which indicates that a thicker sheet increases the acceleration.

6. Results and Discussion

Comparing the acceleration-time and force-

displacement diagrams of the specimens, it can be seen that the experimental values are higher than the numerical values and this difference is less than 7%. This value is due to reasons such as friction between the impactor bearings, the weight-bearing rods, as well as the presence of damping, which is not applied in the numerical model. However, it should be borne in mind that the support conditions and possible errors in the construction of samples are important factors affecting results.

7. Conclusion

In this research, laboratory study and numerical simulation of the behavior of two concrete samples without sheets with dimensions of $15 \times 15 \times 10$ cm and two reinforced concrete samples with dimensions of $15 \times 15 \times 5$ cm under low-speed impact due to free fall of weight were performed. Based on the results of this study, in both methods of analysis, the acceleration of sheetless specimens was higher due to the greater thickness of the specimen compared to the reinforced specimens with smaller dimensions. The higher the acceleration of the samples, the greater the amount of force. The deformation of the reinforced specimens was less than that of the specimens without sheets, which shows the importance of sheets in the fabrication of specimens. Moreover, the thickness of the sheet has a significant effect on the deformation of the samples as the sample made with a thicker sheet has less deformation and displacement than the sample made with a thinner sheet. The acceleration of the sample made with 1 mm sheet is higher than the acceleration of the sample made with 0.8 mm sheet. Also, the comparison of the graphs obtained from numerical and laboratory analysis of all four samples also shows a difference of less than 7%. It shows the appropriate accuracy and close to the experimental method with the numerical method.

